

RASER中LGAD探测器的仿真

王浩博 吉林大学
代表RASER团队*

*<https://raser.team>





raser 3.2.0

pip install raser

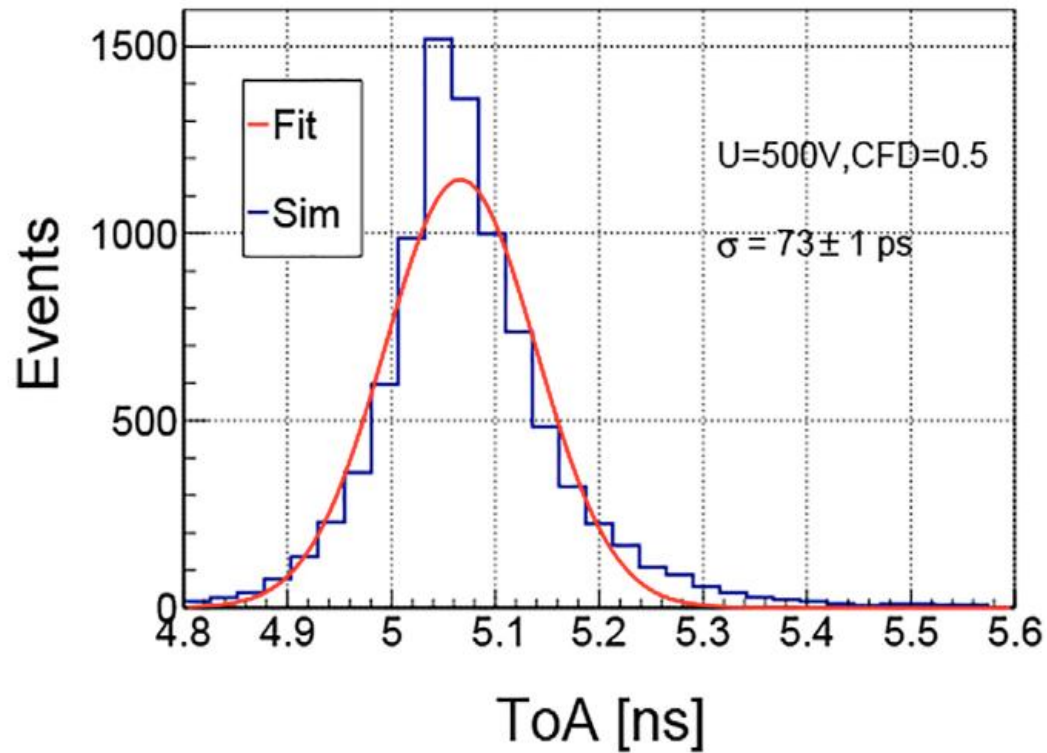


Latest version

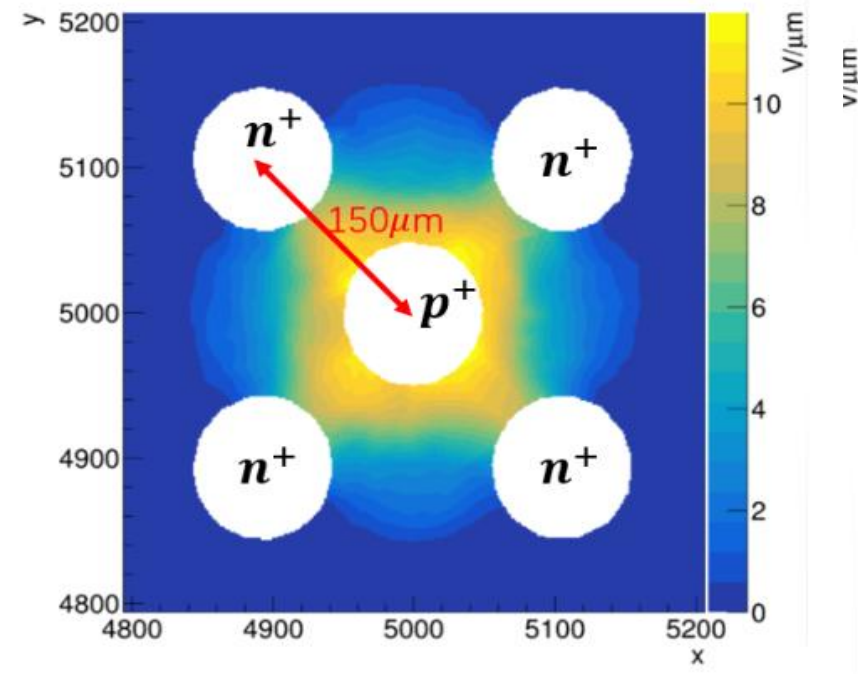
Released: Mar 23, 2023

- RASER=RAdiation SEMiconductoR
- [RASER TEAM](#)开发 (高能所、吉大、山东高研院等)
- 基于PYTHON开发
 - GEANT4、DEVSIM、FENICS、ROOT
- 目标：预测碳化硅探测器的时间分辨性能
 - 3D、PIN、Microstrip
 - LGAD Edge-TCT

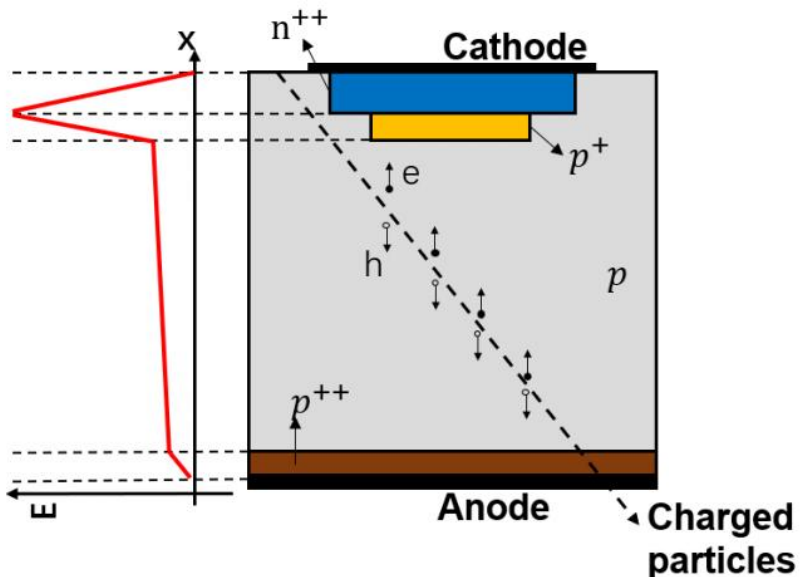




NJU 5mm × 5mm 4H-SiC-PIN的时间分辨
RASER仿真结果为 $73 \pm 1 \text{ ps}$, 实验测得 $94 \pm 1 \text{ ps}$
[Front. Phys. 10:718071.](#)



预测4H-SiC 3D结构探测器的时间分辨
可达到25ps
[Micromachines 2022,13,46.](#)



平面型结构：

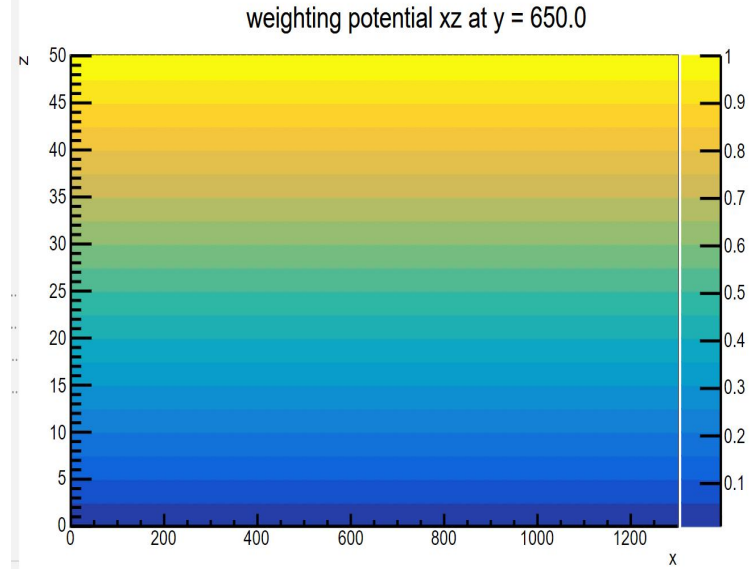
$50 \mu\text{m}$ & $1.3 \times 1.3 \text{ mm}^2$

p区掺杂 $1.0 \times 10^{12} \text{ cm}^{-3}$

增益区：

p^+ { $1.0 \times 10^{12} \text{ cm}^{-3}$, $0 \mu\text{m} < z < 1 \mu\text{m}$
 $1.913 \times 10^{18} \text{ cm}^{-3}$, $1 \mu\text{m} < z < 2 \mu\text{m}$

增益~24倍，耗尽电压约45V



电场方程: $\nabla^2 U(x) = -eN_{eff}/\epsilon$

- 仅考虑空间电荷区
- 全耗尽

加权场方程: $\nabla^2 U_w = 0$

边界条件: $U_w = 1$ 读出电极

$U_w = 0$ 非读出电极

平面型探测器 $E_w \sim 1/d$



- 电离率: van Overstraeten模型

$$\alpha_{p,n}(T; E) = \frac{\tanh(\hbar\omega/2k_{T_0})}{\tanh(\hbar\omega T_0/2k_{T_0}T)} a_{p,n} \exp(-b_{p,n}/E)$$

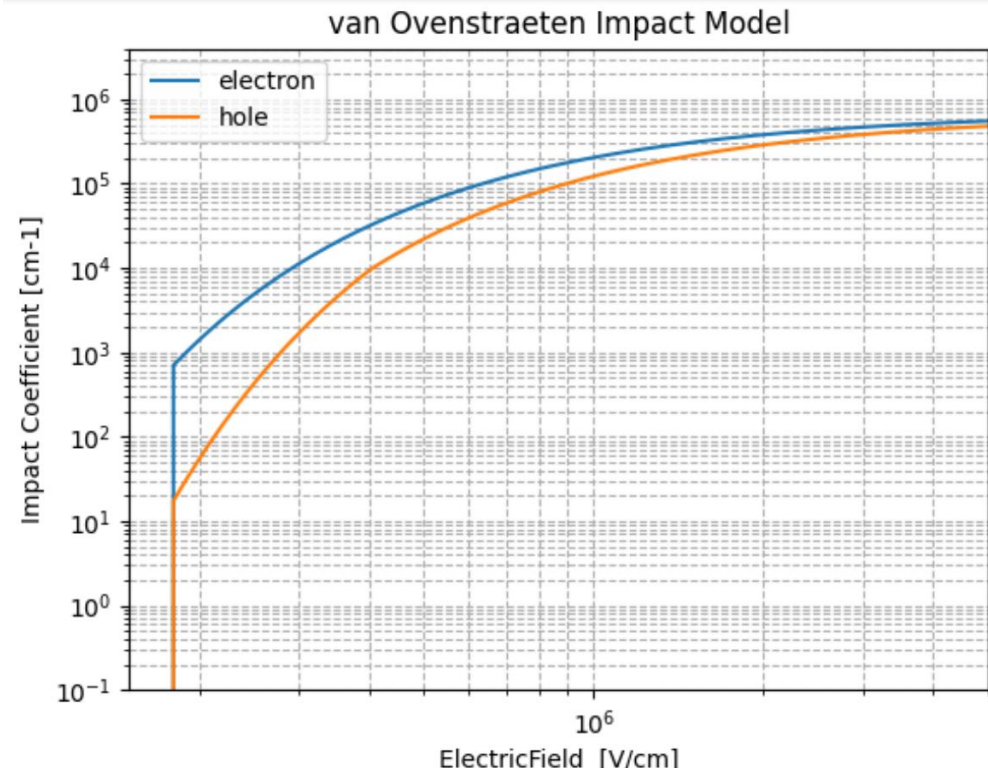
$$a_n = 7.03 \times 10^5 \text{ cm}^{-1}, b_n = 1.231 \times 10^6 \text{ V} \cdot \text{cm}^{-1},$$

$$a_p = 1.582 \times 10^6 \text{ cm}^{-1}, b_p = 2.036 \times 10^6 \text{ V} \cdot \text{cm}^{-1}$$

- 增益系数

$$M(x) = \frac{\exp[\int_0^x (\alpha_n - \alpha_p) dx]}{1 - \int_0^W \alpha_p \exp[\int_0^x \alpha_n - \alpha_p dx] dx}$$

增益倍数 $M = M(d_{gain})$



硅中的电离率模型, $E < 1.75 \times 10^4 \text{ V/m}$
时忽略电离

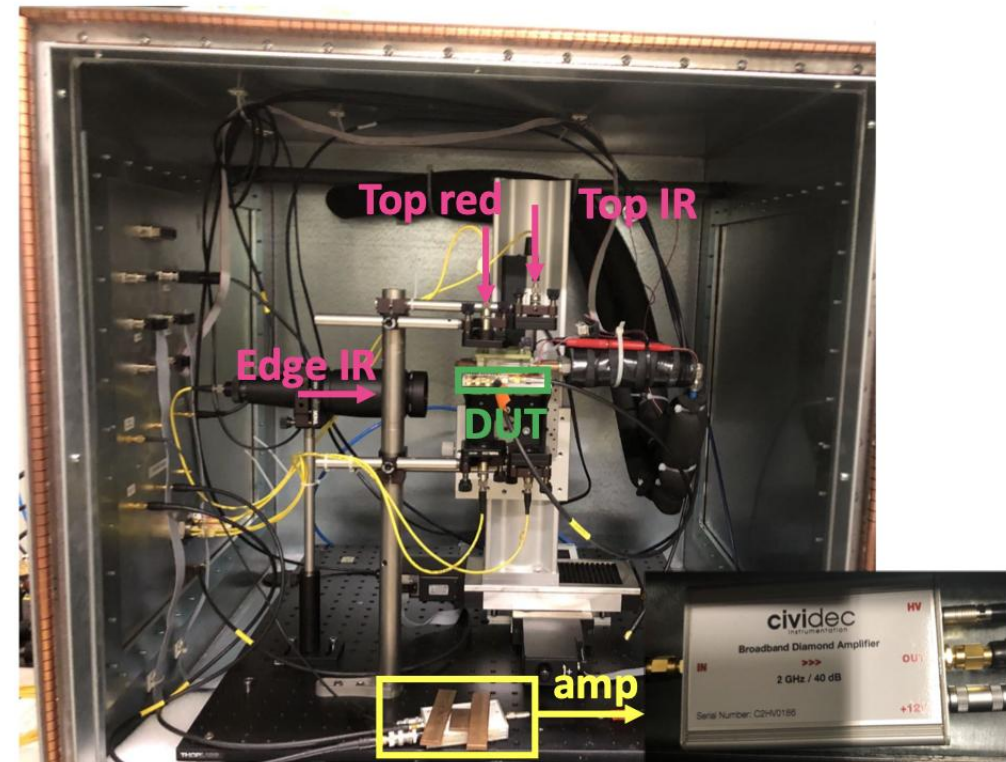
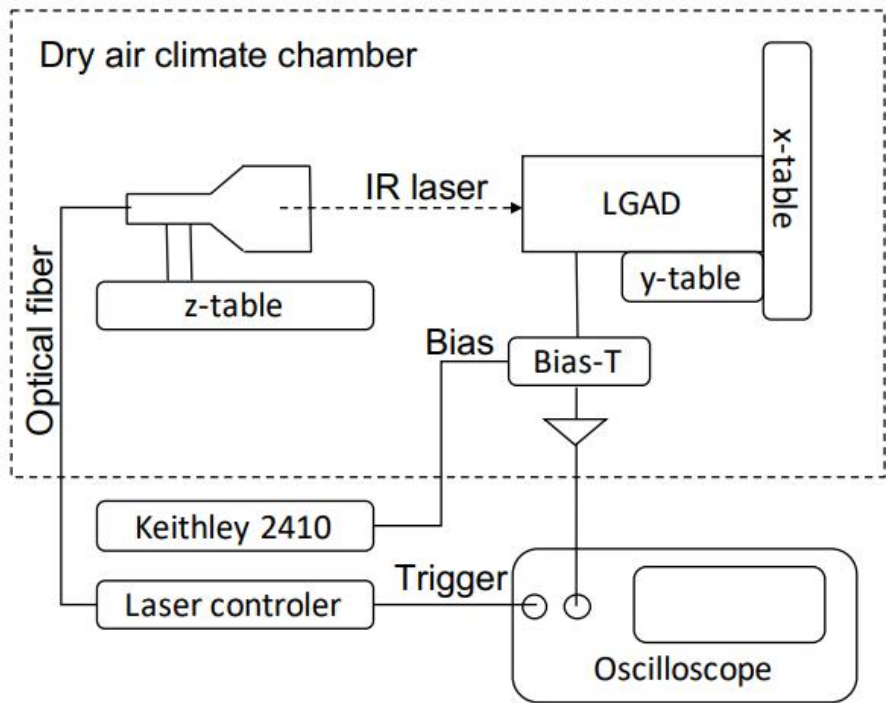
- 1个电子在增益区产生M对增益载流子
- 当电子被吸收时释放增益空穴
- 增益电子瞬间被电极吸收
- 增益空穴漂移产生增益信号



Edge-TCT实验



吉林大學
JILIN UNIVERSITY



CERN RD50 Group, 2019

激光: 波长1064nm, 束腰半高宽 $8\mu m$, 展宽350ps

X,Y,Z三轴步进机, 步长 $1\mu m$

感应电流由肖克利-拉莫定理计算

$$I_q(t) = q \vec{v}_q(t) \cdot \nabla U_w(\vec{v}_q(t))$$

$$I_q(t)dt = q \vec{v}_q \nabla U_w dt = q \frac{d\vec{x}_q}{dt} \frac{dU_w}{dx} = q dU_w(\vec{x}_q)$$

$$\bar{I}_{(t_1, t_2)} = \sum_q \sum_{t \in (t_1, t_2)} I_q(t)dt$$

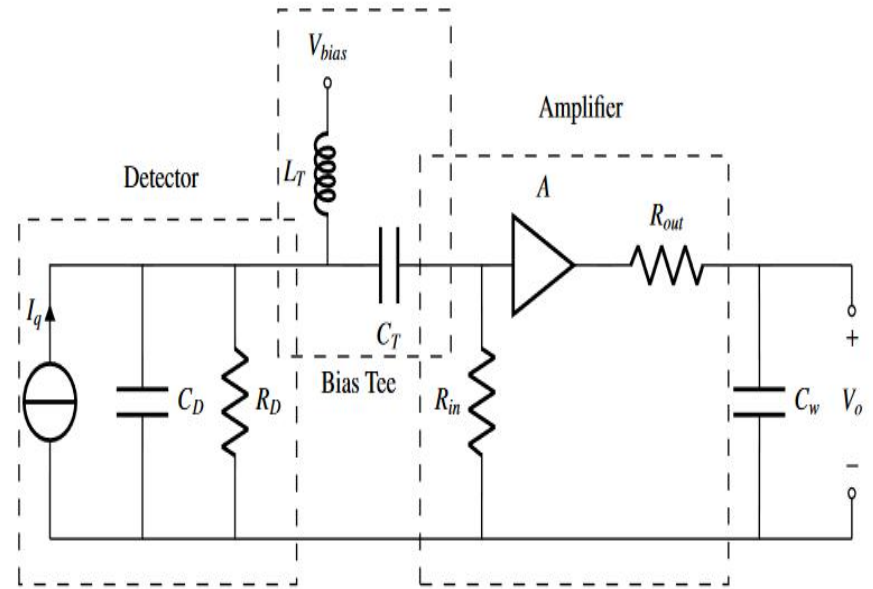
读出电路传递函数

$$h(t) = A' \cdot \frac{\exp(-t/\tau_{RC_D}) - \exp(-t/\tau_{RC_W})}{\tau_{RC_D} - \tau_{RC_W}}$$

$$A' = A \cdot \frac{\tau_{RC_D}}{C_D}, \tau_{RC_D} = R_{in} C_T C_D / (C_T + C_D), \tau_{RC_W} = R_{out} C_W$$

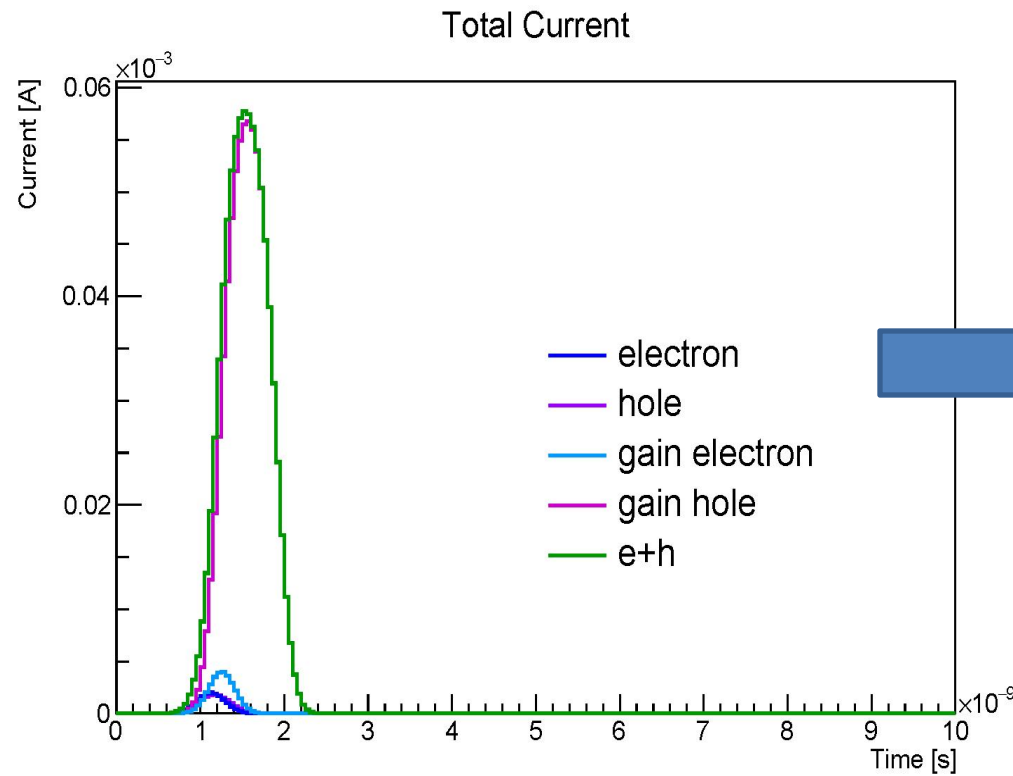
读出电压(V)

$$v_{out}(t) = i_{in}(t) * h(t)$$

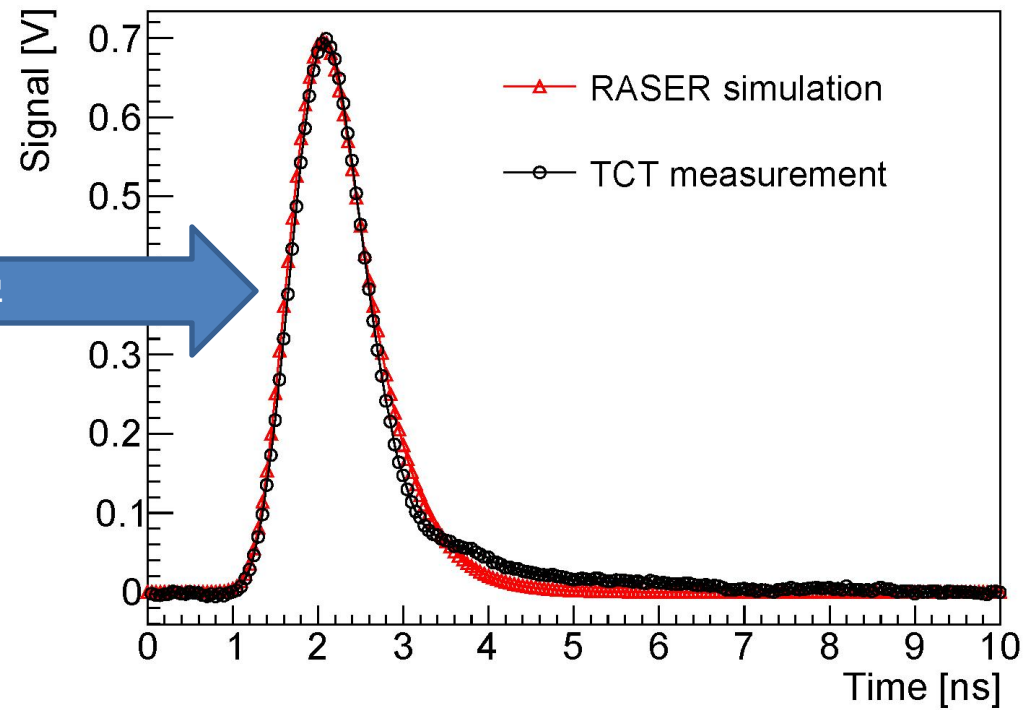


实验读出电路



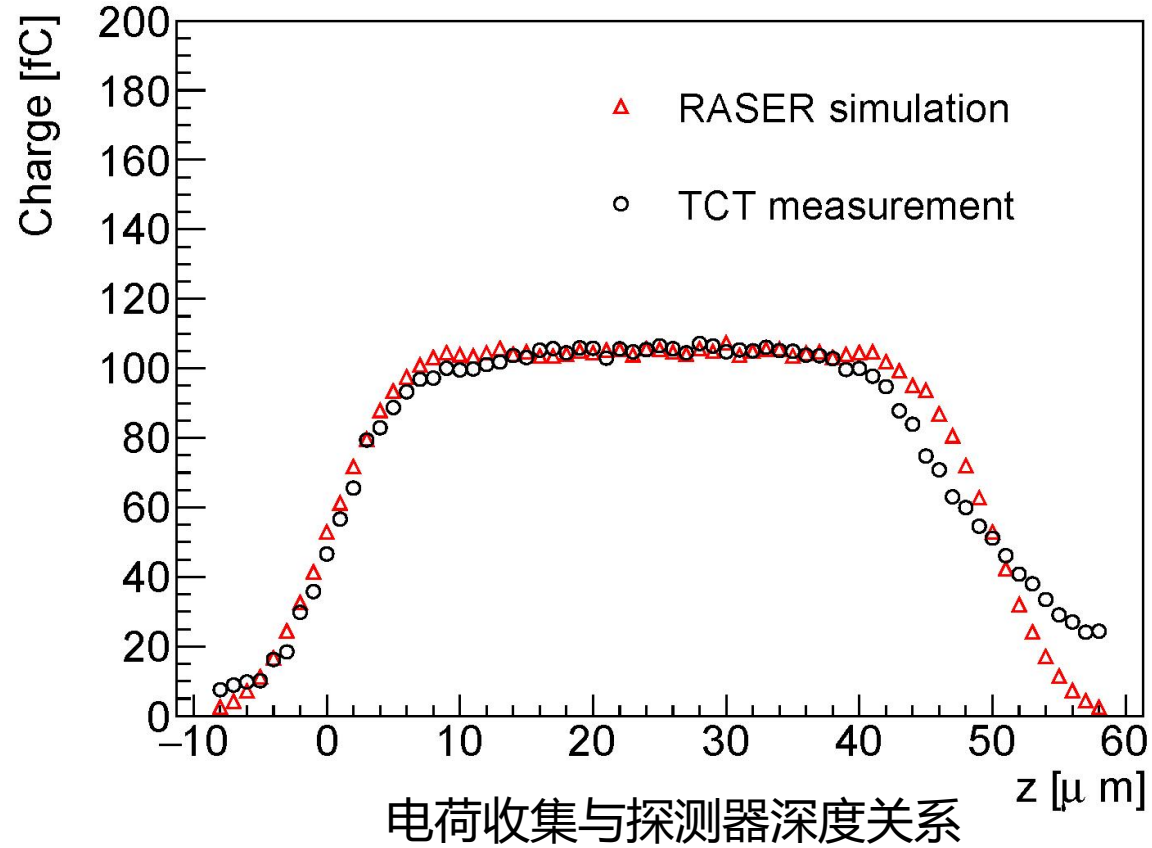
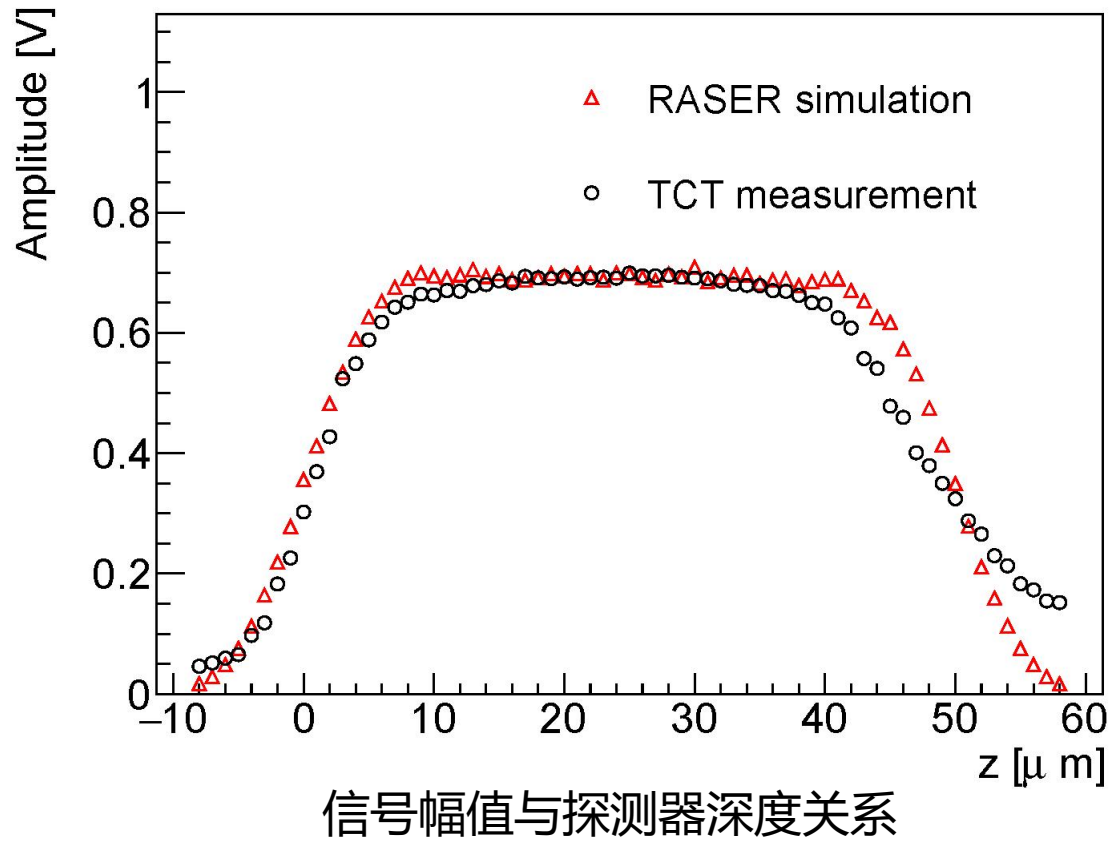


仿真载流子信号贡献图



实验（黑）-仿真（红）波形对比

- 实验和仿真波形符合良好
- 增益空穴贡献了大部分信号
- 增益信号和原始信号难以区分



- 实验与仿真结果大致符合
- 靠近探测器底部差异由衬底中掺杂和激光在衬底产生的载流子导致



速度剖面(Velocity Profile)

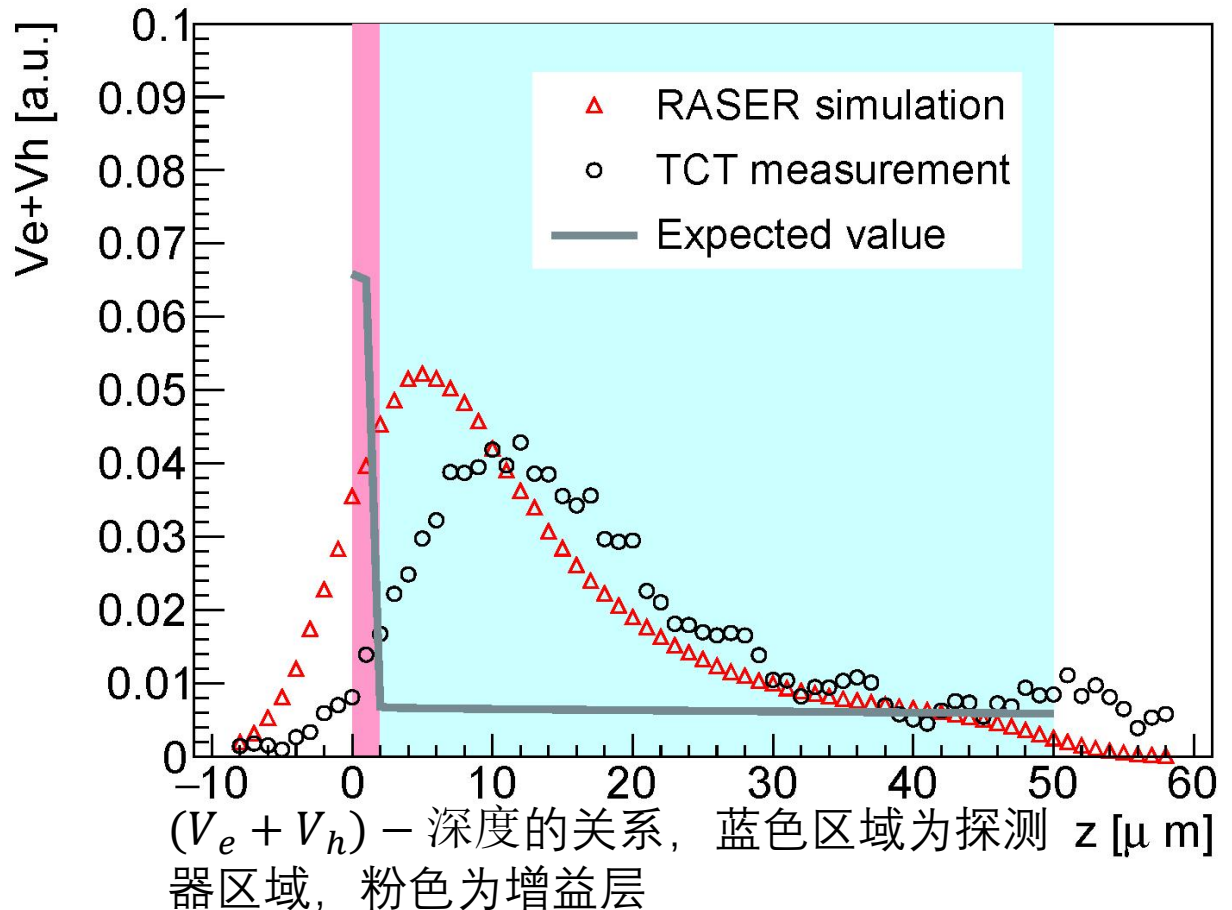


在特定位置 z_0 处产生一对载流子，
产生后瞬间的速度和为：

$$\begin{aligned}v_e(t) + v_h(t) &= \mu_e [E(z_e)] E(z_e) + \mu_h [E(z_h)] E(z_h) \\&\approx \{\mu_e [E(z_0)] + \mu_h [E(z_0)]\} E(z_0)\end{aligned}$$

产生的感应信号：

$$\begin{aligned}I_q(z; t \rightarrow t_0) &= \sum_q q \vec{v}_q(t) \nabla U_w \\&\approx \frac{ne}{d} (\mu_e + \mu_h) E(z)\end{aligned}$$



仿真 $z = 5\mu\text{m}$ ，实验 $z = 10\mu\text{m}$ 出现峰值，与已知的LGAD内部电场不符

扩散剖面(Diffusion Profile)



除定向漂移外的随机运动引入Langevin项

$$\Delta \vec{x}_{Langevin} \sim N(0, 2Dt), D = \frac{k_B T \mu}{q}$$

- 非平衡载流子在电场中漂移和扩散满足高斯分布

$$N = N_0 \frac{1}{\sqrt{2\pi\tau^2}} \exp\left(-\frac{t^2}{2\tau^2}\right) \frac{1}{\sqrt{2\pi\sigma_0^2}} \exp\left(-\frac{z^2}{2\sigma_0^2}\right) * \frac{1}{\sqrt{2\pi\sigma_D^2}} \exp\left(-\frac{(z - \mu Et)^2}{2\sigma_D^2}\right)$$

高斯光束 ← → 漂移和扩散

- 载流子在增益层发生“反射”，“反射”产生满足相同分布的增益空穴 $dN \rightarrow M dN$

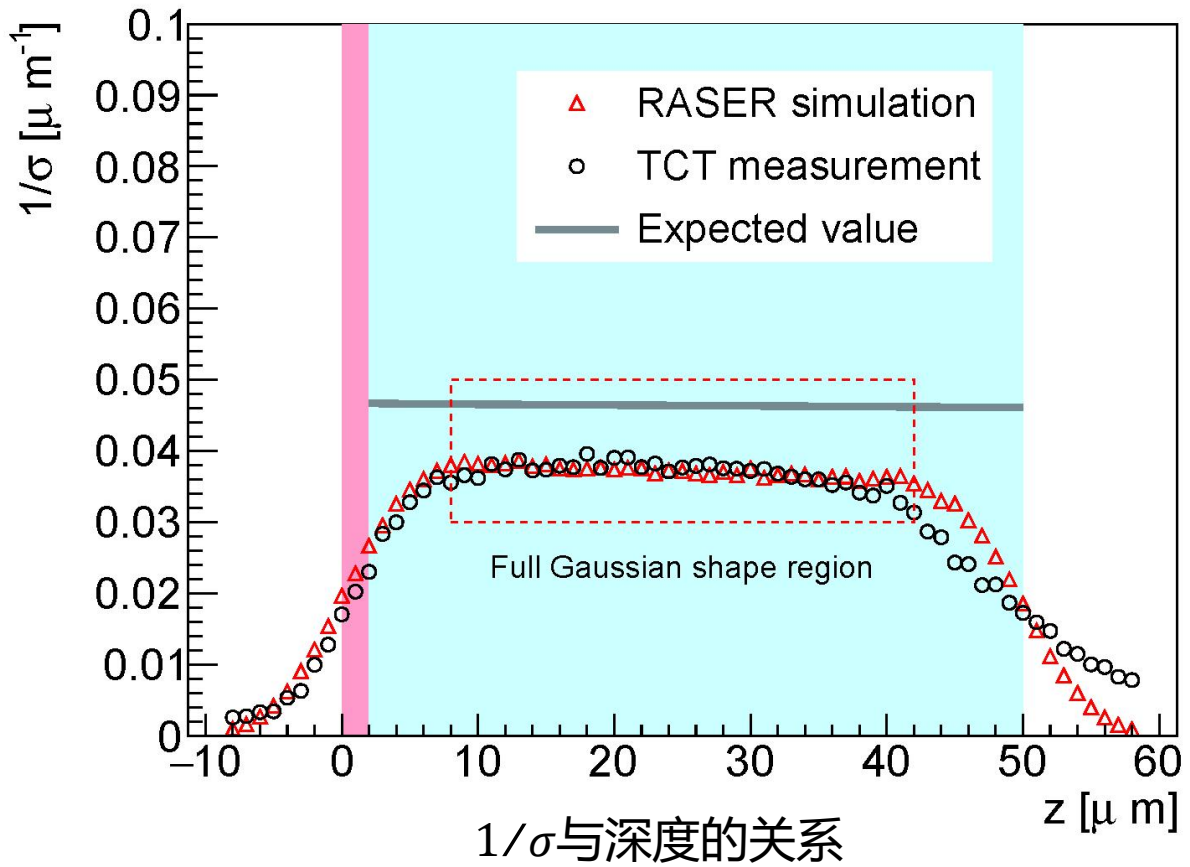
- 增益空穴开始漂移，由S-R定理感应电流信号 $I_q \propto M dN \nu_e q / d$ ，信号上升最快处对应光激发载流子团的中心

$$\left(\frac{dI_q}{dt}\right)_{max} = \frac{k_2 E_p}{\sigma_{eff}(z)} \quad k_2 \text{由激光和探测器性质决定、} E_p \text{为激光脉冲能量}$$

$$\frac{1}{\sigma_{eff}(z)} = \int_0^{x_{max}} \frac{\exp(-\alpha x) \alpha dx}{\sqrt{\tau^2 \nu_e^2 + \frac{E_e^2}{E_i^2} \left[\frac{\omega_0^2(x)}{4} + \frac{k_1}{2} \left(1 - \frac{E_i^2}{E_e^2}\right) \right]}}$$



扩散剖面(Diffusion Profile)



$$\frac{1}{\sigma_{eff}(z)} = \int_0^{x_{max}} \frac{\exp(-\alpha x) \alpha dx}{\sqrt{\tau^2 v_e^2 + \frac{E_e^2}{E_i^2} \left[\frac{\omega_0^2(x)}{4} + \frac{k_1}{2} \left(1 - \frac{E_i^2}{E_e^2}\right) \right]}} \quad \tau v_e = 15 \mu\text{m}, \frac{E(z_e)}{E(z)} < 1.1, \text{ 结果约为一个常数}$$

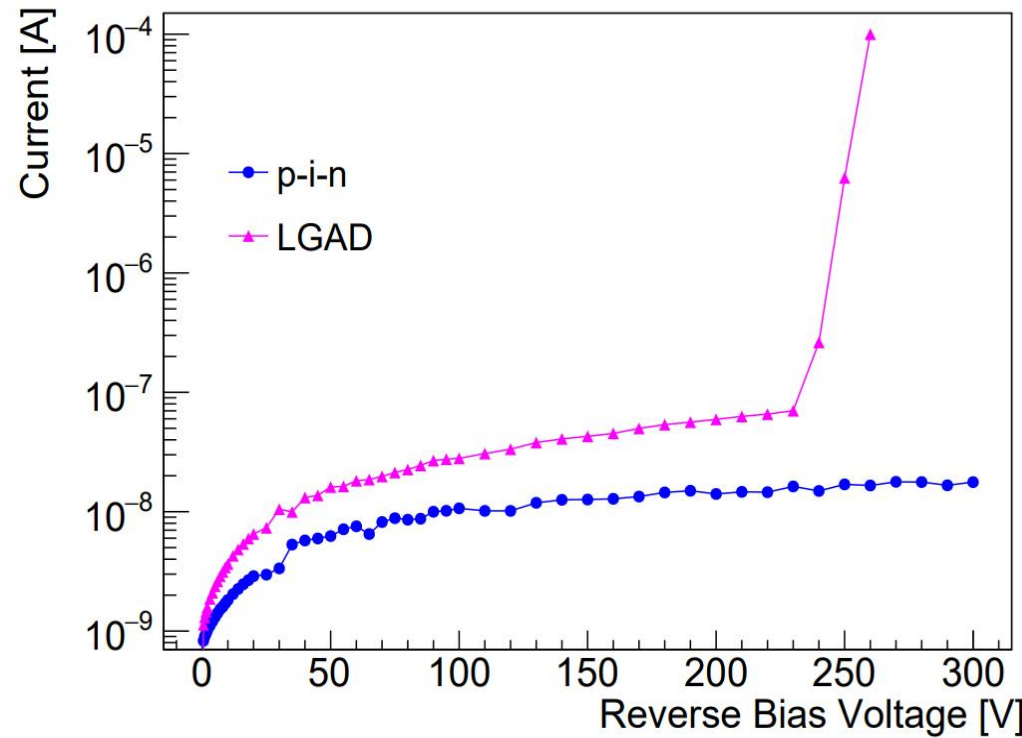
如果 τv_e 更小，则将会得到更多信息

- 提出并检验了模拟增益过程的一种简化方法
- 在RASER中实现了对硅LGAD探测器的仿真并与实验结果相一致
- 提出了扩散法 (Diffusion Profile Method) 探测LGAD探测器的电场信息
- 未来目标：
 - 辐照后探测器
 - SiC PIN&LGAD

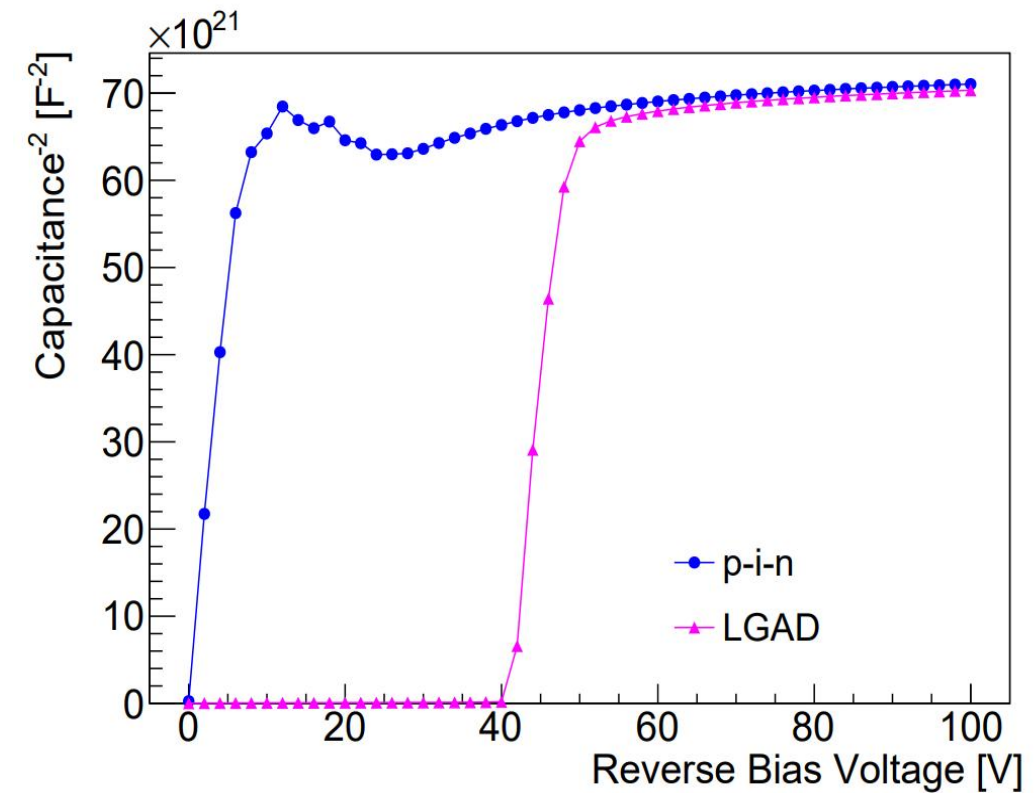
谢谢！



附录：I-V&C-V



I-V测试曲线(蓝) PIN (红) LGAD



C-V测试曲线(蓝) PIN (红) LGAD

击穿电压约220V，耗尽电压约为45V

附录：激光



Light intensity of Gaussian beam:

$$I(r, z; t) = I(0, 0; 0) \frac{w_0}{w(z)} \exp \frac{-2r^2}{w^2(z)} \exp \frac{-4t^2 \ln 2}{\tau^2}$$

$$w(z) = w_0 \sqrt{1 + (2z/L)^2}$$

$$\lambda = 1064\text{nm}, w_0 = 8\mu\text{m}, \tau = 350\text{ps}$$

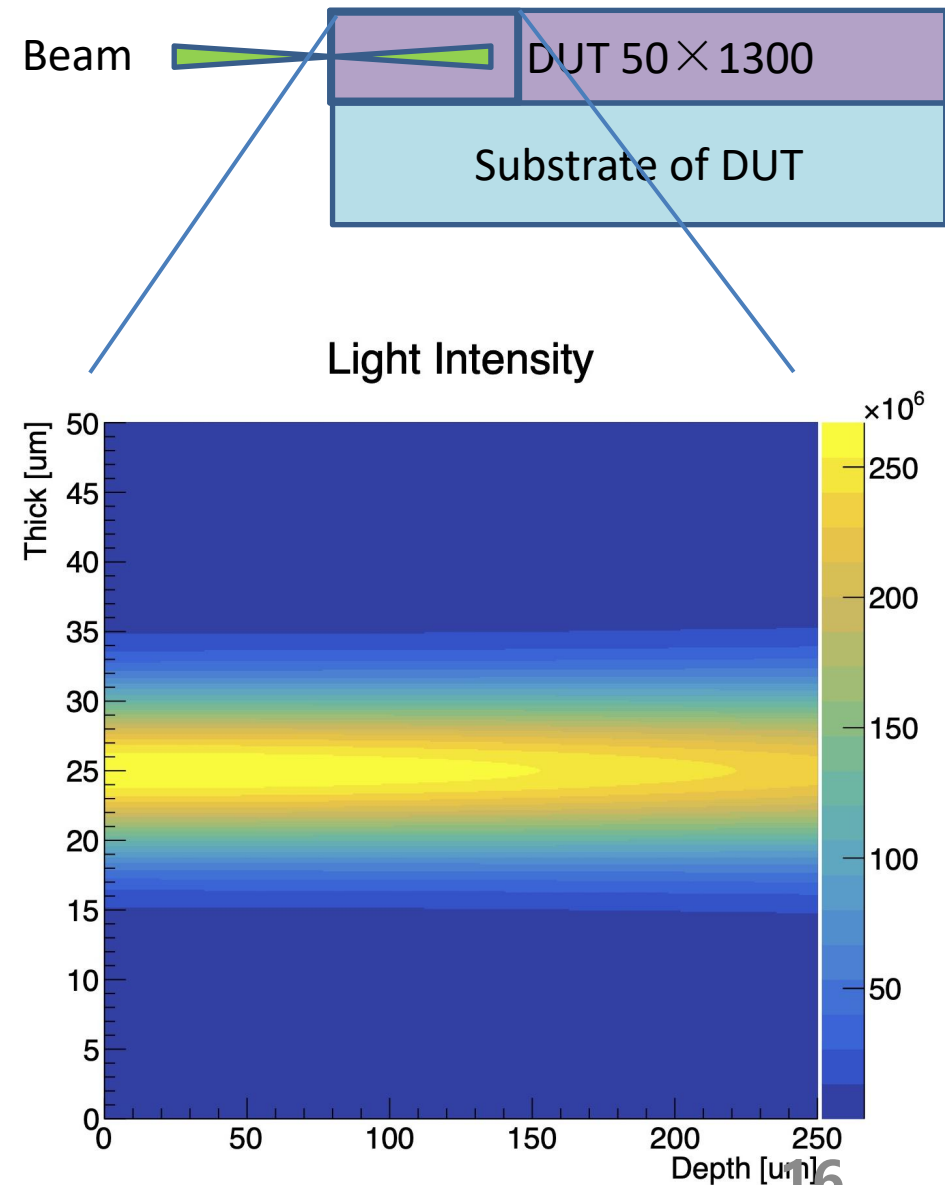
Absorption & refraction :

$$I'(r, z'; t) = I_0(r, z; t) \exp(-\alpha(\lambda)z'), z' \approx nz$$

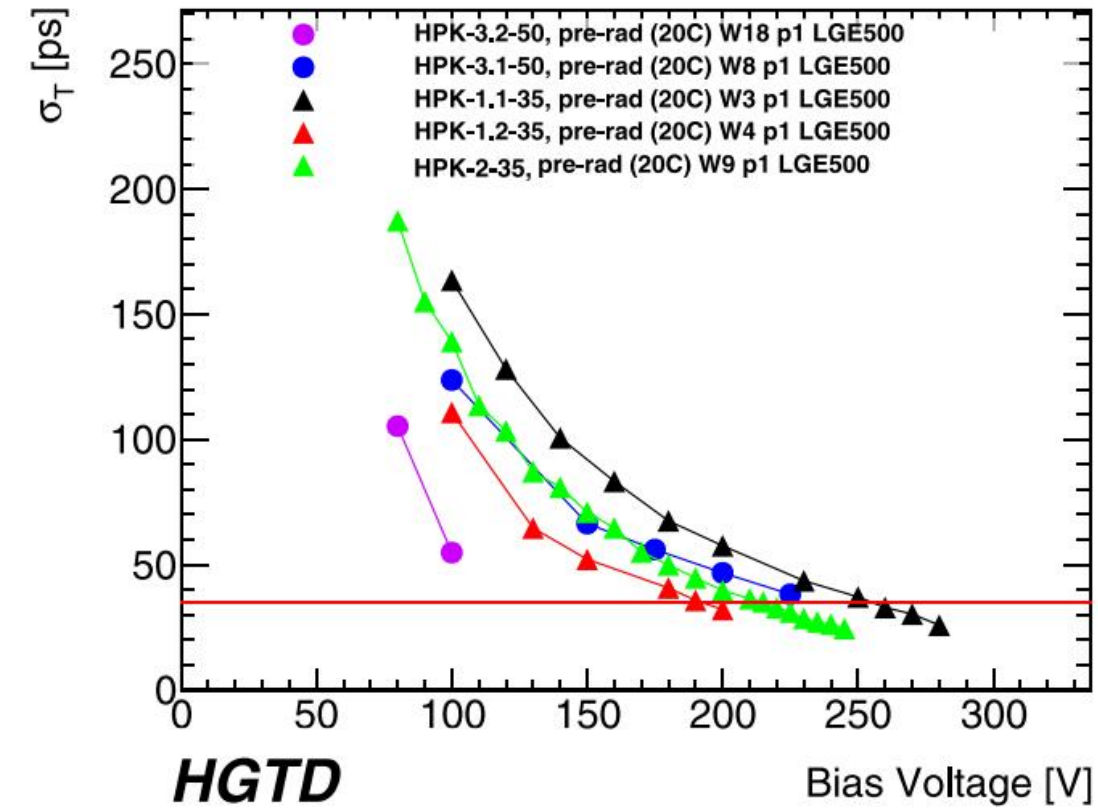
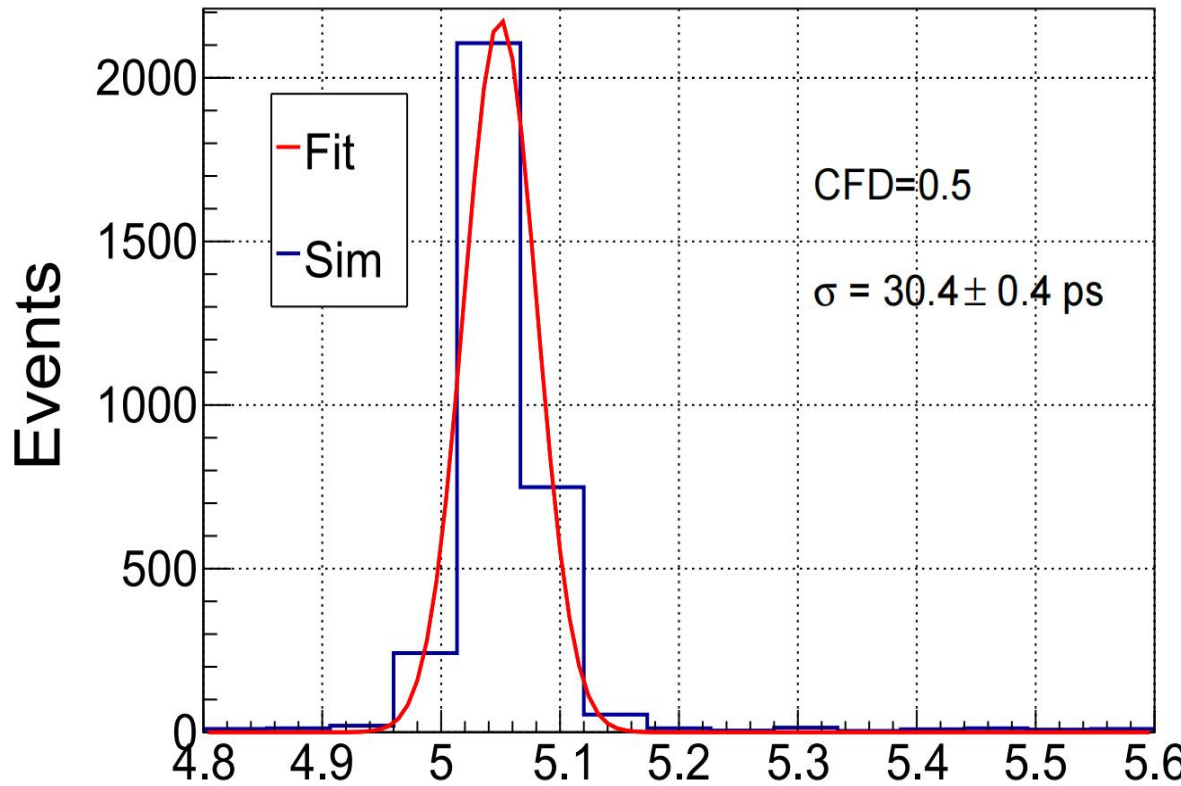
$$\alpha(1064\text{nm}) = 9.87\text{cm}^{-1}$$

Excitation:

$$dN_{e-h\ pairs}(dVdt) = I'dVdt/h\nu$$



附录：时间分辨



RASER仿真得到LGAD探测器时间分辨为 30.4 ± 0.4 ps, 与实验结果[\[1\]X.Yang et al, 2020](#)约35ps相符

附录：扩散信息(Diffusion Profile)



除定向漂移外的随机运动引入Langevin项

$$\Delta \vec{x}_{Langevin} \sim N(0, 2Dt), D = \frac{k_B T \mu}{q}$$

非平衡载流子在电场中漂移和扩散的分布

$$N = N_0 \frac{1}{\sqrt{2\pi\tau^2}} \exp\left(-\frac{t^2}{2\tau^2}\right) \frac{1}{\sqrt{2\pi\sigma_0^2}} \exp\left(-\frac{z^2}{2\sigma_0^2}\right) * \frac{1}{\sqrt{2\pi\sigma_D^2}} \exp\left(-\frac{(z - \mu Et)^2}{2\sigma_D^2}\right)$$

高斯光束 ← 漂移与扩散

$$N(z, t) = \frac{1}{\sqrt{2\pi\tau^2}} \exp\left(-\frac{t^2}{2\tau^2}\right) * \frac{1}{\sqrt{2\pi\sigma^2}} \exp\left(-\frac{(z - z_0 - \mu Et)^2}{2\sigma^2}\right), \sigma^2 = \sigma_0^2 + 2Dt$$

$$dz = \frac{d(\mu E)}{dz} dt, \frac{\partial \sigma^2}{\partial t} = D(z, t)$$

$$N(z, t + dt) = N_0 \exp\left(-\frac{[z / (1 + \frac{d(\mu E)}{dz} dt)]^2}{2(\sigma^2 + Ddt)}\right)$$

$$\frac{d\sigma^2}{dt} = \frac{k_B T}{q} \mu + 2\sigma^2 \frac{d(\mu E)}{dz} \rightarrow \frac{d\sigma^2}{dt} = \frac{k_B T}{q} \frac{dz}{E} + 2\sigma^2 \frac{d(\mu E)}{dz} \frac{dz}{\mu E}$$

$$\sigma^2 = \frac{(\mu_e E_e)^2}{(\mu_i E_i)^2} \left[\int_{z_i}^{z_e} \frac{k_B T}{q} \frac{dz}{E} \frac{(\mu_i E_i)^2}{(\mu E)^2} + \sigma_0^2 \right]$$



附录：扩散信息(Diffusion Profile)

$$\sigma^2 = \frac{(\mu_e E_e)^2}{(\mu_i E_i)^2} \left[\int_{z_i}^{z_e} \frac{k_B T}{q} \frac{dz}{E} \frac{(\mu_i E_i)^2}{(\mu E)^2} + \sigma_0^2 \right]$$

掺杂均匀分布 $E(z) = E(z_e) - qN_{eff}(z - z_e)/\varepsilon$

$$\sigma^2 = \frac{E_e^2}{E_i^2} \left[\sigma_0^2 + \frac{k_1}{2} \left(1 - \frac{E_i^2}{E_e^2} \right) \right], \quad k_1 = \frac{k_B T}{q} \frac{\varepsilon}{qN_{eff}} = 2.8 \mu m^2$$

到达增益层的载流子分布

$$N(z_e, t) dx = \frac{\alpha E_p}{h\nu} \frac{1}{\sqrt{2\pi[\tau^2 + (\sigma/\nu_e)^2]}} \exp\left(-\frac{(t - z_0/\nu_e)^2}{2\tau^2 + 2(\sigma/\nu_e)^2}\right) \exp(-\alpha x) dx$$

$dN = N dt$, 增益后产生 $M dN$ 个增益空穴, 增益信号 $I_q \propto M dN \nu_e' q / d$, 则

$$\left(\frac{dI_q}{dt} \right)_{max} = \frac{k_2 E_p}{\sigma_{eff}(z)}, \quad k_2 = \frac{M}{\sqrt{2\pi}} \frac{\nu_e \nu_e'}{d} \frac{q}{h\nu} = 1.20 \times 10^{15} \frac{A \cdot m}{s \cdot J}$$

激光和探测器
性质决定探测
器

$$\frac{1}{\sigma_{eff}(z)} = \int_0^{x_{max}} \frac{\exp(-\alpha x) \alpha dx}{\sqrt{\tau^2 \nu_e^2 + \frac{E_e^2}{E_i^2} \left[\frac{\omega_0^2(x)}{4} + \frac{k_z}{2} \left(1 - \frac{E_i^2}{E_e^2} \right) \right]}}$$

